

# سنگ‌های بازالتی نئوژن کمان ماقمایی قوچان-اسفراین، شمال شرق ایران: نشانه‌ای از بالاًمدگی گوشته از طریق پنجره ورقه اقیانوسی

سارا گردیده<sup>(۱)</sup>، حبیب الله قاسمی<sup>(۲)</sup>، محمود صادقیان<sup>(۳)</sup>، لایچنگ میائو<sup>(۴)</sup> و چانگ فوچین<sup>(۵)</sup>

۱. دانشجوی دکتری، دانشکده علوم زمین، دانشگاه صنعتی شاهروд
۲. استاد، دانشکده علوم زمین، دانشگاه صنعتی شاهرود
۳. دانشیار، دانشکده علوم زمین، دانشگاه صنعتی شاهرود
۴. استاد، مؤسسه زمین‌شناسی و ژئوفیزیک آکادمی علوم چین، پکن

تاریخ دریافت: ۱۳۹۸/۰۲/۲۴

تاریخ پذیرش: ۱۳۹۸/۰۴/۱۶

## چکیده

سنگ‌های آذرین نئوژن در نوار ماقمایی قوچان-اسفراین (در شمال سیزووار) نشانگر ماقماتیسم پس از برخورد در زون جوش خورده شمال شرق ایران می‌باشند. این مجموعه آذرین به شکل گندب، استوک، دایپ و روانه به طور پراکنده و با روند شمال غرب-جنوب شرق در این نوار گسترش دارد. روانه‌ها و دایک‌های بازیک (بازالتی) در میان مارن‌های نئوژن و در کنار گندبهای آتشفسانی آداکیتی رخنمون یافته‌اند. سنگ‌های مورد بررسی دارای ترکیب الیوین بازالت تا تراکی آندزی بازالت با بافت‌های میکرولیتی پورفیری، هیالومیکرولیتی پورفیری، گلومروپورفیری و جریانی هستند و کانی‌های اصلی آن‌ها را درشت بلورها و ریزبلورهای الیوین، کلینوپیروکسن و پلاژیوکلاز در زمینه شیشه‌ای تا میکرولیتی تشکیل می‌دهند. بازالت‌ها دارای ماهیت آکالان سدیک می‌باشند و نسبت به عنصر لیتوفیل بزرگ یون (LILE)، عناصر خاکی کمیاب سبک (LREE) و عناصر با شدت میدان بالا (HFSE) به ویژه نیوبیوم ( $Nb=20-30$ ) غنی‌شدگی و از عناصر خاکی کمیاب سنگین (HREE) تهی‌شدگی نشان می‌دهد. ماقمای والد بازالت‌ها از ذوب بخشی ۱۵ تا ۲۰ درصدی یک ستون گوشته‌ای گارنت‌لرزولیتی در یک محیط زمین‌ساختی کششی درون کمانی در زمان میوسن تشکیل شده و از طریق سیستم‌های شکستگی و گسلی، به تراوهای بالاتر پوسته قاره‌ای صعود کرده و در حوضه رسوی نئوژن فوران کرده است. این ستون گوشته‌ای از طریق شکسته شدن پنجره ورقه اقیانوسی و هجوم گوشته آستنوسفری داغ به درون گوه گوشته‌ای روی زون فروزانش حوضه اقیانوسی نئوتیس سیزووار تشکیل شده است.

واژه‌های کلیدی: بازالت سرشار از نیوبیوم، نوار ماقمایی قوچان-اسفراین، نئوتیس.

## مقدمه

در حاشیه‌های برخورد قاره‌ای بوده است (Allen et al., 2004). گسترش این سنگ‌های ماقمایی در پهنه ایران مرکزی از آذربایجان تا زمان و تفتان در سیستان و بلوچستان اغلب نواحی ایران مرکزی و البرز در زمان سنوزوئیک میزبان فعالیت‌های آتشفسانی شدید ناشی از ماقمازای

\* نویسنده مرتبط: Sara.gardideh@gmail.com

(Reagan and Gill, 1989) با آدکیت‌ها، به بیان یک رابطه زایشی چند مرحله‌ای بین این دو گروه سنگی منجر شده است (Defant et al., 1992).

گدازه‌های بازالتی مورد مطالعه در داخل واحدهای مارنی میوسن در نزدیکی گنبدهای آدکیتی منطقه و بیشتر در اطراف روستاهای عبدالله گیو، زیگ، شمال گلپین و فتح آباد مشاهده می‌شوند. این بازالت‌ها دارای شباهت‌های فراوان با بازالت‌های حوضه‌های کششی پشت کمانی الیگومیوسن شمال شرق ایران مرکزی (قاسمی و جمشیدی، ۱۳۹۰؛ قاسمی و همکاران، ۱۳۹۵؛ قاسمی و برهمن‌د، ۱۳۹۲) می‌باشند. در نقشه زمین‌شناسی منطقه (امینی، ۱۳۷۹) این بازالت‌ها به ائوسن نسبت داده شده‌اند، ولی بررسی‌های صحرایی و تعیین سنت‌های صورت گرفته به روش K/Ar (قاسمی و همکاران، ۱۳۸۹) سن آنها  $۱۹/۵ \pm 0/۵$  میلیون سال و به روش  $^{۴۰}\text{Ar}/^{۳۹}\text{Ar}$   $۲۱/۷ \pm 0/۷$  میلیون سال نشان داده است (Ahmadi et al., 2017). با توجه به کمبود پژوهش دقیق در ارتباط با زمین‌شناسی، ویژگی‌های ژئوشیمیایی و نحوه تشکیل ماقمای سازنده این بازالت‌های سرشار از نیوبیوم در نوار ماقمایی قوچان-اسفراین، در این مطالعه به بررسی این مسائل با استفاده از ژئوشیمی عناصر اصلی و کمیاب و به ویژه داده‌های ایزوتوپی Sr-Nd پرداخته شده است.

## روش مطالعه

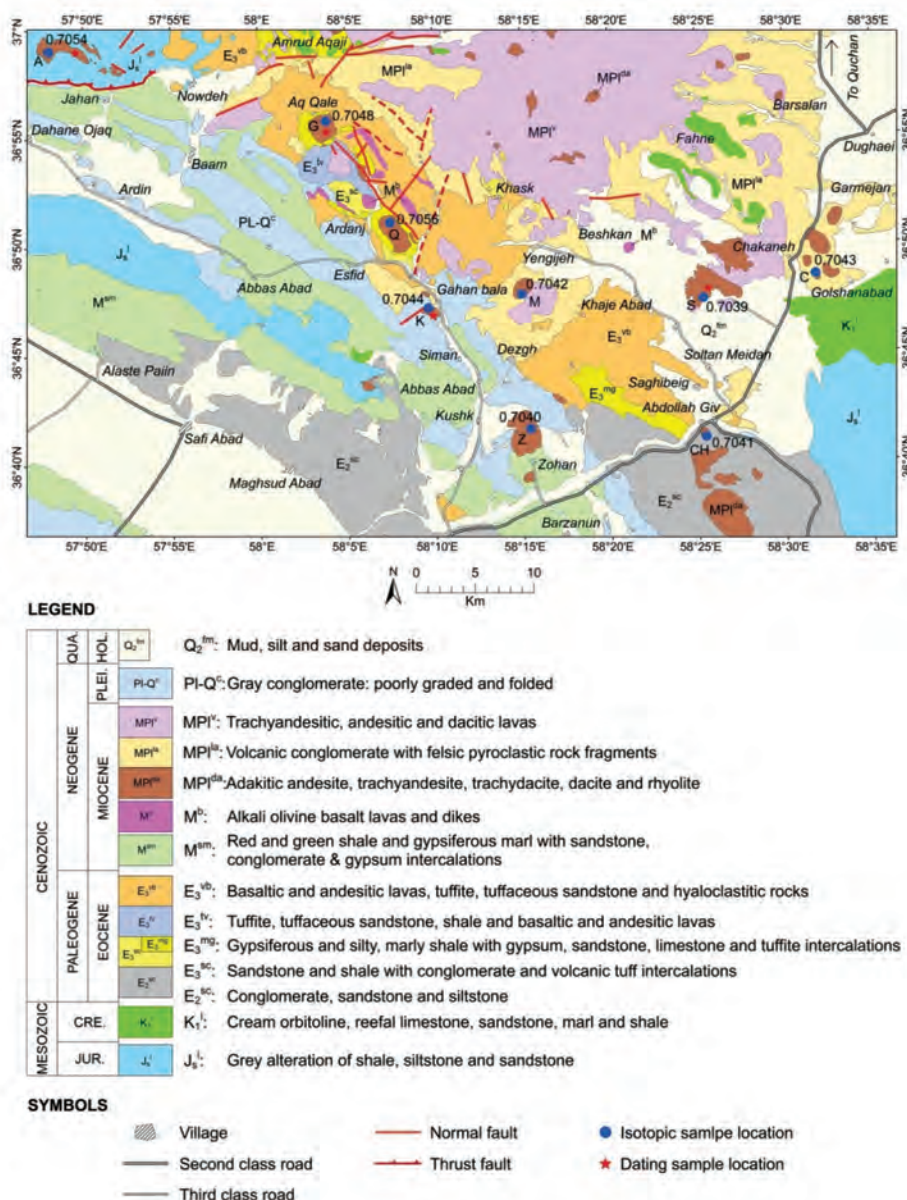
از حدود ۲۰ نمونه بازالتی برداشت شده، مقاطع نازک تهیه شد و مورد مطالعه پتروگرافی دقیق قرار گرفت. با در نظر گرفتن کمترین دگرسانی در نمونه‌ها، شش عدد از آن‌ها انتخاب و به روش بسته ترکیبی با کد LF100 به روش‌های ACME و ICP-MS در آزمایشگاه ژئوشیمی ونکوور کانادا برای عناصر اصلی، کمیاب و کمیاب خاکی مورد آنالیز شیمیایی قرار گرفتند (جدول ۱). نتایج بدست‌آمده از آنالیز شیمیایی نمونه‌های منتخب، در تفسیرهای پترولوجیکی، سنگ‌زادی و تعیین محیط زمین‌ساختی مورد استفاده قرار گرفته‌اند. تجزیه‌های ایزوتوپی و تعیین نسبت‌های  $^{۸۷}\text{Sr}/^{۸۶}\text{Sr}$  و  $^{۱۴۳}\text{Nd}/^{۱۴۴}\text{Nd}$  سنگ کل بروی چهار نمونه از سنگ‌های

ادامه داشته و به نام نوار ماقمایی ارومیه-دختر مشهور است (Alavi, 1994). فعالیت‌های ماقمایی سنوزوئیک در دوره‌های زمانی مختلف به صورت خروج گدازه در محیط‌های خشکی و زیرآبی و همچنین نفوذ و جایگزینی تودهای آذرین گرانیت‌وئیدی تظاهر یافته است (Emami, 2001). در شمال نوار شرق ایران نیز کمان ماقمایی قوچان-اسفراین در شمال نوار افیولیتی-دگرگونی سبزوار وجود دارد که از زمان میوسن تا کواترنر فعال بوده است (قاسمی و همکاران، ۱۳۸۹). این نوار از سنگ‌های آتش‌نشانی و آذرآواری نوع کمان حاشیه قاره‌ای میوسن پایینی تا پلیوسن بالایی و تودهای آذرین نیمه ژرف (گنبدهای آندزیتی، تراکی آندزیتی، داسیتی و ریولیتی آدکیتی و همچنین دایک‌های دیابازی و روانه‌های بازالتی سرشار از نیوبیوم نئوژن تشکیل شده است (Baumann et al., 1983; Spies et al., 1983؛ Jamshidi, Shabanian et al., 2012؛ Jamshidi et al., 2014؛ Rossetti et al., 2014؛ et al., 2014؛ Shafaii Moghadam et al., 2016؛ 2015a,b) این ماقماتیسم ناشی از فرورانش ورقه اقیانوسی نئووتیس حوضه اقیانوسی سبزوار به زیر البرز شرقی (بینالود) در زمان‌های میوسن تا پلیوسن بوده است (گردیده و همکاران، ۱۳۹۷).

ویژگی ماقمایی کمان حاشیه قاره در سنگ‌های آتش‌نشانی و آذرآواری ائوسن میانی-بالایی، آدکیتی در گنبدهای نئوژن و نیوبیوم بالا در سنگ‌های بازالتی قلیایی نئوژن، لزوم توجه هرچه بیشتر به خاستگاه ماقما، علل رخداد ماقماتیسم جایگاه زمین ساختی بروز آن را ضروری کرده است. محققان سری بازالت‌های قلیایی منفاوتی را شناسایی کردند که با بازالت‌های شاخص کمان مشابه نبودند (Defant et al., 1992) این بازالت‌ها در مقایسه با بازالت‌های شاخص کمان از عناصر باشدت میدان بالا به ویژه Nb (بیشتر از ۲۰ بی‌پی‌ام در مقایسه با کمتر از چهار بی‌پی‌ام) غنی‌شدگی نشان می‌دهند و به همراه آدکیت‌ها در کمان‌های ماقمایی مرتبط با فرورانش ورقه بازالتی جوان با سن ۲۵ میلیون سال یا کمتر یافت می‌شوند. همراهی این بازالت‌های قلیایی که بازالت‌های سرشار از نیوبیوم نامیده می‌شوند

ایزوتوپی، به منظور ارزیابی دقیق و ثبات دستگاههای تجزیه‌ی ایزوتوپی، از نمونه استاندارد (NBS-987) با میانگین نسبت  $(\text{Sr}^{87}/\text{Sr}^{86}) = 0.700021 \pm 0.000021$  و از نمونه استاندارد دیگری به نام (Jndi-1) که با میانگین نسبت  $(\text{Sr}^{87}/\text{Sr}^{86}) = 0.712118 \pm 0.000014$  به ترتیب برای بهنجار سازی مقادیر نسبت‌های ایزوتوبی  $\text{Sr}^{87}/\text{Sr}^{86}$  و  $\text{Nd}^{143}/\text{Nd}^{144}$  استفاده شده است.

با روش کروماتوگرافی تبادل یونی دو مرحله‌ای انجام گرفته است و مقادیر آنها با روش طیف سنج جرمی یونیزاسیون حرارتی اندازه‌گیری شده است. در طول جمع آوری داده‌های



شکل ۱. نقشه زمین‌شناسی ساده شده منطقه مطالعه (برگرفته از نقشه ۱:۱۰۰۰۰ زمین‌شناسی مشکان) (امینی، ۱۳۷۹). نشانه‌های اختصاری شامل: C=Chakaneh; S=Sheykmostafa; Z=Zohan; CH=Chargoushli; M=Markooh; Q=Quchkhar; K=Kahan; G=Ghochghou; A=Arsang and Kheyran

## بحث

### زمین‌شناسی

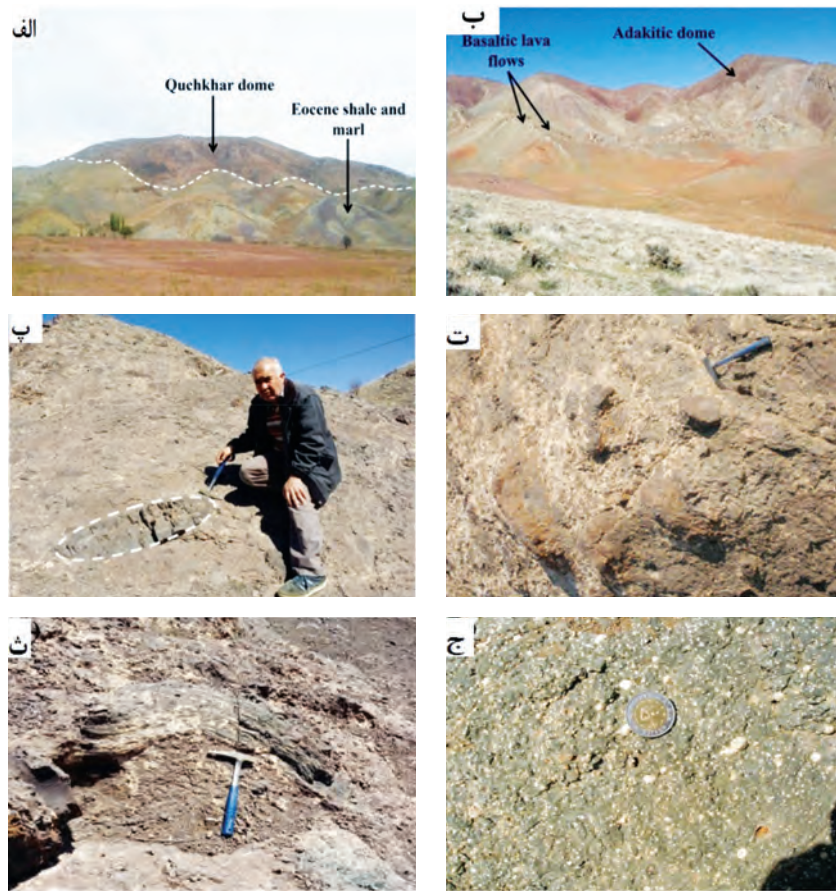
نوار ماقمایی سنوزوئیک قوچان-اسفراین در شمال نواحی افیولیتی-دگرگونی سبزوار و در کمریند بینالود (البرز شرقی) واقع شده است. این منطقه در فاصله ۶۰ کیلومتری جنوب قوچان و ۵۰ کیلومتری شرق اسفراین، در راستای شمال غربی-جنوب شرقی به صورت کشیده بین طول‌های جغرافیایی  $57^{\circ}47'$  تا  $58^{\circ}18'$  شرقی و عرض‌های جغرافیایی  $36^{\circ}58'$  تا  $37^{\circ}36'$  شمالی قرار دارد (شکل ۱). بخش شمالی این کمان ماقمایی اساساً از واحدهای آذرآواری و گنبدهای آدکیتی نئوژن به همراه روانه‌های بازالتی تشکیل شده است (شکل ۲-الف و ب) (تنها، ۱۳۸۸؛ قاسمی و همکاران، ۱۳۸۹؛ گردیده و همکاران، ۱۳۹۵). واحدهای سنگی موجود در این منطقه از قدیم به جدید شامل آندزیت-بازالت‌های ائوسن، مجموعه‌های آتشفسانی-رسوبی ائوسن، الیوین بازالت‌های میوسن، گنبدهای آدکیتی میوسن-پلیوسن با طیف ترکیبی آندزیت-تراکی آندزیت-تراکی داسیت-داسیت و ریولیت، واحدهای شیلی-مارنی میوسن و کنگلومراخ ضخیم پلیوسن و رسوبات عهد حاضر می‌باشد. واحدهای رسوبی ماسه سنگی-شیلی و شیلی-مارنی گچ دار ائوسن از مهمترین واحدهای رسوبی منطقه به شمار می‌روند که به عنوان سنگ میزبان گنبدهای آدکیتی منطقه نیز به حساب می‌آیند. سنگ‌های آتشفسانی-رسوبی ائوسن شامل تناوبی از گدازه‌های بازیک-حدواسط فوران بافت در محیط‌های خشکی و دریا، آذرآواری‌های محیط‌های خشکی و دریابی و نهشت‌های رسوبی محیط خشکی، لagon محصور کششی محلی داخل کمان آتشفسانی در ائوسن میانی-بالای نهشت‌های شده‌اند (قاسمی و همکاران، ۱۳۹۲). مجموعه‌های آتشفسانی-رسوبی ائوسن، بی‌سنگ منطقه مورد مطالعه را تشکیل داده و شامل سه بخش می‌باشد که ستبرای آن حدود ۲۰۰۰ متر است. بخش سوم این واحد، گسترش بیشتری در گستره مورد مطالعه دارد که شامل سنگ‌های آتشفسانی با گسترش وسیع می‌باشند و دارای ترکیب بازیک تا حدواسط و به ندرت اسیدی هستند. قدیمی‌ترین واحد منطقه در

برگیزنده تناوب بازالت، ماسه سنگ توفی، شیل و گدازه‌های آندزیت-بازالتی است. گدازه‌ها، رنگ خاکستری مایل به قرمز داشته و در نزدیکی روستای قوزه زن به رنگ قرمز مایل به سیاه در می‌آیند. کانی‌های مگنتیت موجود در این سنگ‌ها اکثراً هماتیتی شده‌اند. ضخامت این واحد متغیر است و در برخی نقاط به حدود ۱۵۰ متر می‌رسد (امینی، ۱۳۷۹). واحد آگلومراخی با ضخامت ۱ تا ۳ متر به رنگ کرم تا صورتی در برخی نقاط، این واحد بر روی شیل‌ها و مارن‌های گچ دار ائوسن بالایی قرار می‌گیرد (شکل ۲-پ و ت). در برخی مناطق، قطعاتی همچون بمب آتشفسانی در واحد آگلومراخی مشاهده می‌شود (شکل ۲-ث).

بعد از واحد آگلومراخی، گدازه‌های اسپیلیتی-اسکوری‌های آندزیتی و سپس الیوین بازالت‌های میوسن زیرین در سراسر منطقه گسترش دارند. گدازه اسپیلیتی-اسکوری آندزیتی بخش اول این واحد است که بر روی واحد آگلومراخی قرار می‌گیرد. نمای دوگانه‌ای این بخش (واحد اسپیلیتی-اسکوری آندزیتی) نشانگر فوران گدازه با ترکیب بازالتی در زیر آب (فوران زیرآبی) با تشکیل اسپیلیت و فوران در محیط کم عمق آبی که منجر به تشکیل اسکوری آندزیتی شده است (تنها، ۱۳۸۸). بلورهای رئولیت و کلسیت در حفرات واحد اسپیلیتی به صورت ساخت بادامکی به وفور و به صورت ثانویه تشکیل شده‌اند. بخش دوم این واحد را الیوین بازالت‌های میوسن تشکیل داده‌اند. این بازالت‌ها بر روی بخش قبلی قرار گرفته‌اند (شکل ۲-ج). این گدازه‌ها دارای طیفی ترکیبی محدودی از الیوین بازالت تا آندزیت بازالتی هستند. در صحراء دارای ظاهری خاکستری تا کاملاً سیاه رنگ هستند. فنوکریستهای الیوین در این سنگ‌ها ایدنگریتی شده‌اند و به رنگ قرمز در سطح سنگ دیده می‌شوند.

### سنگ‌نگاری

این سنگ‌ها بیشتر دارای بافت هیالومیکرولیتی پورفیری، گلومروروپورفیری و جریانی هستند و کانی‌های اصلی آن‌ها را درشت بلورها و ریزبلورهای الیوین، کلینوپیروکسن و پلازیوکلاز در زمینه شیشه‌ای تا میکرولیتی تشکیل می‌دهند. آنها شامل الیوین، بازالت و به میزان کمتر تراکی آندزی بازالت



شکل ۲. الف) تصویر صحرایی از رخمنون گنبدهای آدکیتی نوار ماقمایی قوچان-اسفراین در واحدهای رسوبی انوسن (دید به سمت شمال)، ب) نمایی از گدازهای بازالتی منطقه در کنار گنبدهای آدکیتی که واحدهای رسوبی میوسن را قطع نموده‌اند (دید به سمت شمال غرب)، پ، ت، ث) رخمنون واحد آکلومرایی در منطقه همراه با قطعات بازالتی و بمب‌های آتش‌نشانی در شمال روستای فتح آباد (دید به سمت شمال)، ج) ساخت بادامکی در سنگ‌های بازالتی منطقه

روابط ایپی تاکسیالی که به ساز و کار اتصال سینتوسی معروف است. بلورهای ریز کلینوپیروکسن نیز در بین پلازیوکلازها به چشم می‌خورند (Shelly, 1993). میزان دگرسانی فنوکریست‌ها از ریز بلورها بیشتر است (شکل ۳-ث). پلازیوکلازها نیز اغلب به صورت فنوکریست، تیغه‌ای، میکرولیتی و سوزنی شکل دیده می‌شوند. برخی از آنها ماکل پلی‌ستنتیک نشان می‌دهند. بیشتر بلورها در جهت جریان قرار گرفته و بافت تراکیتی نشان می‌دهند. اندازه آنها بین ۰/۲ تا چهار میلی‌متر است که بیشتر خودشکل تا نیمه شکل هستند. الیوین در مقاطع میکروسکوپی به صورت نیمه شکل دار تا بی شکل و بیشترگرد شده است و دارای بافت غیرتعادلی، اسکلتی (شکل ۳-ج)، حاشیه‌های خورده شده و خلیج مانند می‌باشد. فنوکریست‌های الیوین در این سنگ‌ها

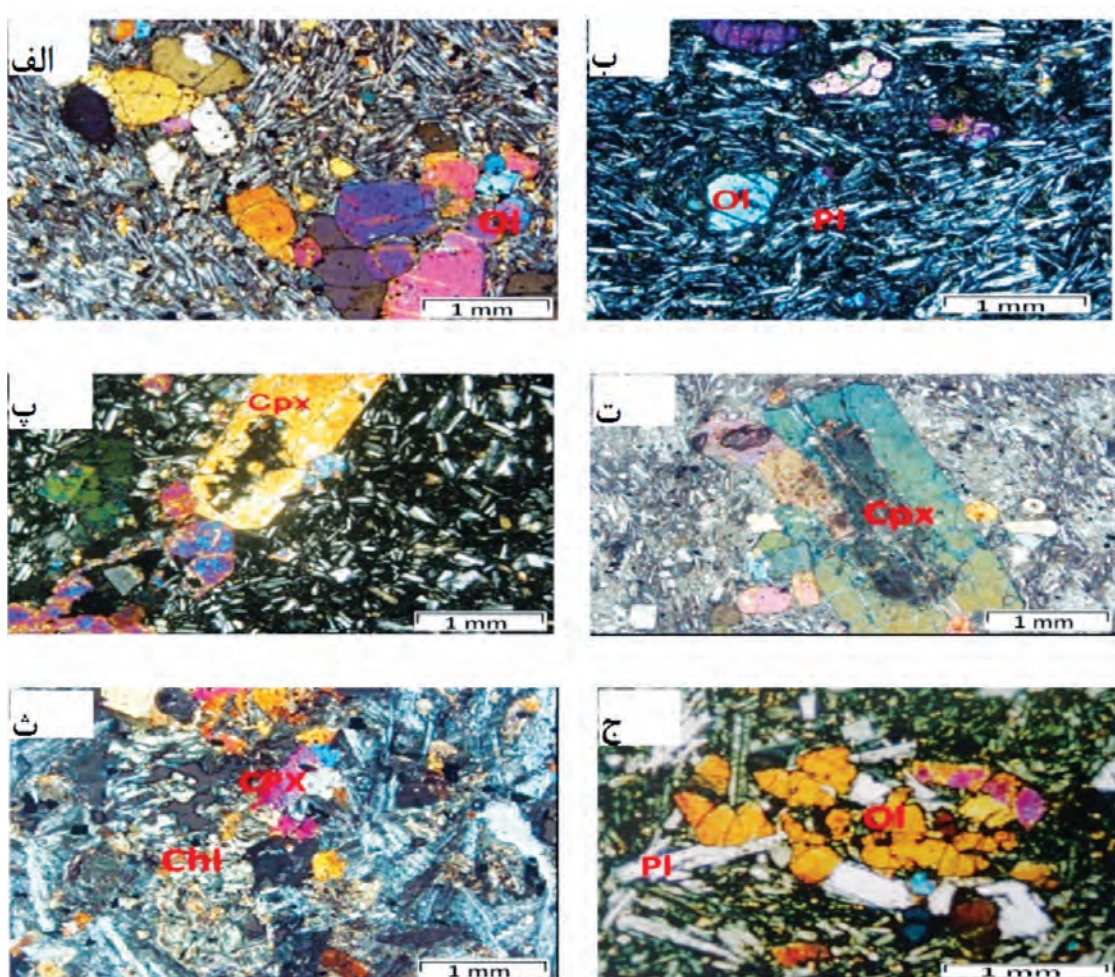
هستند (شکل ۳-الف و ب). کلینوپیروکسن، اصلی‌ترین پیروکسن موجود در بازالتهاست. کلینوپیروکسن‌ها اغلب نیمه خودشکل هستند و برخی از آنها حاشیه خلیج مانند نشان می‌دهند. اندازه فنوکریست‌های پیروکسن گاهی تا پنج میلی متر نیز می‌رسد. بافت گلومروپورفیری، ناشی از تجمع بلورهای پیروکسن، الیوین و پلازیوکلاز در این سنگ‌ها دیده می‌شود (شکل ۳-پ و ت). بافت گلومروپورفیری بیانگر مراحل مختلف تحول ماقما در مسیر بالآمدگی در آشیانه‌های ماقمایی مختلف است تشکیل در مرحله تبلور زبرزمینی و پیش از فوران (Samuel et al., 2007)، نطفه‌بندی ناهمگن روی سطوح از پیش موجود (kirkpatrickch, 1997)، برخورد بلورها در خلال بالا آمدن و موازی هم‌دیگر قرار گرفتن شبکه بلورها و یا قرارگیری آنها درجهت ماقملی و یا

آلکالی ( $K_2O + Na_2O$ ) نمونه‌های برداشت شده از دایک‌ها و روانه‌های بازالتی منطقه در محدوده تراکی بازالت و تراکی آندزیت بازالتی قرار می‌گیرد (Le Bas et al., 1986) (شکل ۴-الف). برای تعیین سری ماقمایی سنگ‌های مورد مطالعه از نمودار  $K_2O + Na_2O$  در برابر  $SiO_2$ , Irvine and Baragar, 1971 (شکل ۴-ب) استفاده شده است که ماهیت قلیایی این سنگ‌ها را نشان می‌دهد. ماهیت قلیایی ماقماهای بازی می‌تواند توسط دو سازوکار مهم شامل نخ پایین ذوب بخشی سنگ منبع و یا ذوب بخشی گوشه دگرنهاد ایجاد شود; (McBirney, 1993; Gill, 2010) نیز جهت مقایسه با نمونه بازالتی در این پژوهش ارائه رئیسی و همکاران, (۱۳۹۲).

ایدنگریتی شده اند و به رنگ قرمز در سطح سنگ دیده می‌شوند. ایدنگریتی شدن از حاشیه‌ها و شکستگی‌ها شروع شده و تا مرکز بلورها ادامه می‌یابد.

### شیمی سنگ‌کل و ایزوتوبی

برای بررسی ویژگی‌های ژئوشیمیایی و فرایندهای سنگ شناختی مرتبط با بازالت‌های نئوژن از داده‌های عناصر اصلی، فرعی و کمیاب استفاده شده است (جدول ۱). نتایج آنالیز شیمیایی ۱۰ نمونه از سنگ‌های آداکیتی گنیدهای نئوژن نوار ماقمایی قوچان-اسفراین (گردیده و همکاران، ۱۳۹۷) نیز جهت مقایسه با نمونه بازالتی در این پژوهش ارائه شده است (جدول ۲). در نمودار  $SiO_2$  در مقابل مجموع



شکل ۳. الف، ب) تصویر میکروسکوپی از الیوین بازالت‌های میوسن زیرین همراه با بافت میکرولیتی پورفیری جریانی (نور XPL)، ث) بافت گلومروفیری در سنگ‌های بازالتی در اثر تجمع کانی‌های پیروکسن (نور XPL)، ت، ث) بلورهای خودشکل و درشت پیروکسن همراه با دگرسانی به کانی‌های کلریت، اپیدوت و سریسیت در فضای بین بلورهای پلاژیوکلاز در تراکی آندزیت‌های بازالتی (نور XPL)، ج) وجود بافت اسکلتی در الیوین بازالت‌های منطقه همراه با بافت ساب افتیکی (نور XPL)

ژئوشیمیایی گدازه‌های بازالتی مورد مطالعه استفاده شده است (شکل ۵). روند تغییرات مقادیر  $\text{MgO}$ ,  $\text{Fe}_2\text{O}_3$ ,  $\text{MnO}$ ,  $\text{CaO}$ ,  $\text{TiO}_2$ ,  $\text{MnO}$  در برابر مقدار  $\text{SiO}_2$  به صورت کاهشی می‌باشد که می‌تواند به علت جایگزینی آن‌ها در ساختار کانی‌های فرو منیزین در مراحل اولیه تبلور و تفرقی ماسه باشد. مقادیر  $\text{O}_2\text{O}$  و  $\text{K}_2\text{O}$  بر خلاف اکسیدهای اولیه روند افزایشی و مقادیر  $\text{Al}_2\text{O}_3$  روند افزایشی همراه با پراکندگی را نشان می‌دهد. این نمودارها نشان‌دهنده نقش فرایند تبلور تقریقی، در تحول ژئوشیمیایی ماسه‌ای سازنده بازالت‌ها می‌باشد. نمودارهای  $\text{La}/\text{Yb}$  در مقابل  $\text{La}/\text{Th}$  (Wilson, 1989) و  $\text{SiO}_2$  (Norry, 1979) در مقابله با شکل ۶-الف و ب) این روند تبلور تقریقی را تایید می‌کند.

مقدار  $\text{SiO}_2$  این سنگ‌ها از ۴۹/۲۲ تا ۵۱/۲۱ درصد،  $\text{Al}_2\text{O}_3$  از ۱۷/۵۵ تا ۱۹/۲۶ درصد،  $\text{MgO}$  از ۴/۸۹ تا ۷/۳۵ درصد،  $\text{Fe}_2\text{O}_3$  از ۲/۴۳ تا ۵/۷۱ درصد،  $\text{TiO}_2$  از ۱/۱۷ تا ۱/۶۱ درصد و  $\text{Mg}^+$  از ۴۳/۷۸ تا ۶۴/۱۶ درصد می‌باشند. این مقادیر نشان می‌دهند که این سنگ‌ها از ماسه‌های اولیه ایجاد نشده اند و احتمالاً حاصل ماسه‌های تحول یافته تر هستند. موقعیت قرار گیری نمونه‌های بازالتی و نمونه‌های آدکیتی نوار ماسه‌ای قوچان-اسفراین در نمودار  $\text{Y}/\text{Sr}$  در (Drummond and Defant, 1990) جهت مقایسه تصویر شده است که نشان‌دهنده تفاوت ماهیت این سنگ‌ها از سنگ‌های آدکیتی منطقه می‌باشد. در نمودارهای فراوانی اکسیدهای عناصر اصلی در برابر  $\text{SiO}_2$  برای بررسی تحول

جدول ۱. نتایج تجزیه‌های شیمیایی (درصد وزنی) سنگ‌های بازالتی نفوذ نوار ماسه‌ای قوچان-اسفراین

Sample	GB1	GB2	GB3	GB4	GB5	GB6
Area	Fathabad and Golbin					
$\text{SiO}_2$	۵۰/۸۳	۴۷/۰۵	۵۰/۴۲	۵۰/۷۰	۵۱/۲۱	۴۹/۲۲
$\text{Al}_2\text{O}_3$	۱۹/۲۶	۱۸/۳۷	۱۸/۴۲	۱۸/۰۵	۱۷/۹۰	۱۷/۵۵
$\text{Fe}_2\text{O}_3$ total	۸/۰۹	۹/۶۲	۹/۶۹	۸/۹۵	۹/۳۰	۹/۲۴
$\text{Fe}_2\text{O}_3$	۲/۴۳	۲/۸۹	۳/۳۹	۵/۷۱	۳/۳۶	۲/۷۷
$\text{FeO}$	۵/۶۷	۶/۷۳	۶/۳۰	۳/۲۴	۵/۹۴	۶/۴۷
$\text{MgO}$	۶/۹۲	۸/۲۲	۴/۸۹	۵/۸۰	۵/۷۲	۷/۳۵
$\text{CaO}$	۷/۸۶	۹/۱۹	۸/۹۸	۷/۵۰	۷/۳۰	۸/۶۴
$\text{Na}_2\text{O}$	۳/۷۹	۴/۳۰	۳/۷۰	۵/۰۰	۴/۶۱	۴/۳۳
$\text{K}_2\text{O}$	۱/۵۲	۰/۹۵	۱/۷۶	۱/۳۰	۱/۷۰	۱/۴۱
$\text{TiO}_2$	۱/۱۷	۱/۶۱	۱/۴۹	۱/۱۰	۱/۲۰	۱/۵۵
$\text{P}_2\text{O}_5$	۰/۴۴	۰/۵۵	۰/۵۰	۰/۶۵	۰/۷۳	۰/۴۶
$\text{MnO}$	۰/۱۱	۰/۱۴	۰/۱۶	۰/۱۵	۰/۱۸	۰/۱۴
$\text{Cr}_2\text{O}_3$	۰/۰۲	۰/۰۲	۰/۰۲	۰/۰۰	۰/۰۰	۰/۰۶
Lol	۱/۰۳	۲/۳۰	۲/۹۰	۱/۱۰	۱/۰۰	۲/۵۰
Ba	۳۱۴/۰۰	۲۱۰/۰۰	۲۷۶/۰۰	۲۷۵/۰۰	۳۲۰/۰۰	۳۱۳/۰۰
Be	۲/۰۰	۱/۰۰	۲/۰۰			۳/۰۰
Co	۲۸/۲۰	۳۶/۳۰	۲۹/۵۰	۳۲/۰۰	۳۱/۰۰	۳۲/۴۰
Cs	۰/۷۰	۰/۷۰	۰/۳۰	۰/۷۳	۰/۷۷	۰/۶۰
Ga	۱۵/۶۰	۱۶/۶۰	۱۷/۷۰			۱۴/۸۰
Hf	۴/۰۰	۴/۱۰	۴/۴۰	۷/۲۰	۶/۳۰	۴/۰۰
Nb	۲۰/۰۰	۲۲/۲۰	۳۰/۵۰	۲۶/۰۰	۲۲/۰۰	۲۳/۸۰
Rb	۲۶/۹۰	۱۳/۵۰	۳۵/۹۰	۴۰/۰۰	۳۷/۰۰	۱۷/۹۰
Sn	۱/۰۰	۲/۰۰	۱/۰۰			۱/۰۰
Sr	۵۷۰/۰۰	۶۶۳/۹۰	۷۵۶/۱۰	۸۲۰/۰۰	۸۵۰/۰۰	۷۶۰/۳۰
Ta	۱/۲۰	۱/۲۰	۱/۷۰	۰/۸۱	۰/۸۷	۱/۴۰

ادامه جدول ۱.

Sample	GB1	GB2	GB3	GB4	GB5	GB6
Area	Fathabad and Golbin					
Th	۲/۹۰	۲/۷۰	۳/۸۰	۳/۵۰	۳/۶۰	۲/۸۰
U	۱/۰۰	۰/۶۰	۱/۲۰	۰/۹۰	۰/۶۰	۰/۷۰
V	۱۴۲/۰۰	۱۹۴/۰۰	۱۹۹/۰۰	۱۵۰/۰۰	۱۲۵/۰۰	۱۷۰/۰۰
W	۰/۵	۰/۵	۰/۶۰			۰/۵۰
Zr	۱۷۱/۸۰	۱۸۱/۷۰	۱۶۴/۲۰	۱۳۷/۰۰	۱۲۰/۰۰	۱۹۲/۱۰
Y	۲۱/۲۰	۲۲/۷۰	۲۳/۰۰	۲۲/۰۰	۲۴/۰۰	۲۰/۸۰
La	۲۳/۸۰	۲۴/۹۰	۲۸/۵۰	۳۲/۰۰	۳۲/۰۰	۲۴/۹۰
Ce	۴۹/۹۰	۵۴/۷۰	۵۶/۷۰	۶۱/۰۰	۵۵/۰۰	۴۷/۲۰
Pr	۵/۶۰	۶/۷۸	۶/۷۲	۶/۸۰	۶/۷۳	۵/۴۹
Nd	۲۰/۵۰	۴۰/۲۶	۲۵/۸۰	۲۵/۰۰	۲۷/۰۰	۲۱/۹۰
Sm	۴/۰۸	۵/۶۲	۴/۸۱	۵/۵۰	۵/۰۰	۴/۲۲
Eu	۱/۳۷	۱/۷۱	۱/۶۰	۱/۶۳	۱/۶۲	۱/۴۷
Gd	۳/۹۸	۵/۰۵	۴/۸۳	۴/۵۰	۴/۰۰	۴/۵۵
Tb	۰/۶۶	۰/۷۸	۰/۷۶	۰/۵۶	۰/۴۳	۰/۷۴
Dy	۳/۷۶	۴/۳۲	۴/۲۰	۳/۹۰	۴/۰۰	۴/۰۶
Ho	۰/۷۶	۰/۸۲	۰/۸۳	۰/۰۰		۰/۸۱
Er	۲/۱۰	۲/۱۹	۲/۳۱	۲/۳۰	۲/۳۰	۲/۳۶
Tm	۰/۳۴	۰/۳۵	۰/۳۴			۰/۳۴
Yb	۲/۰۰	۲/۰۷	۲/۱۵	۲/۲۰	۲/۰۰	۲/۱۲
Lu	۰/۳۲	۰/۳۰	۰/۳۳			۰/۳۳
Sc	۲۱	۲۵/۰۰	۲۶/۰۰			

جدول ۲. نتایج تجزیه شیمیایی (درصد وزنی) ۱۰ نمونه از سنگ‌های آدکیتی نوار ماغمایی قوچان-اسفراین

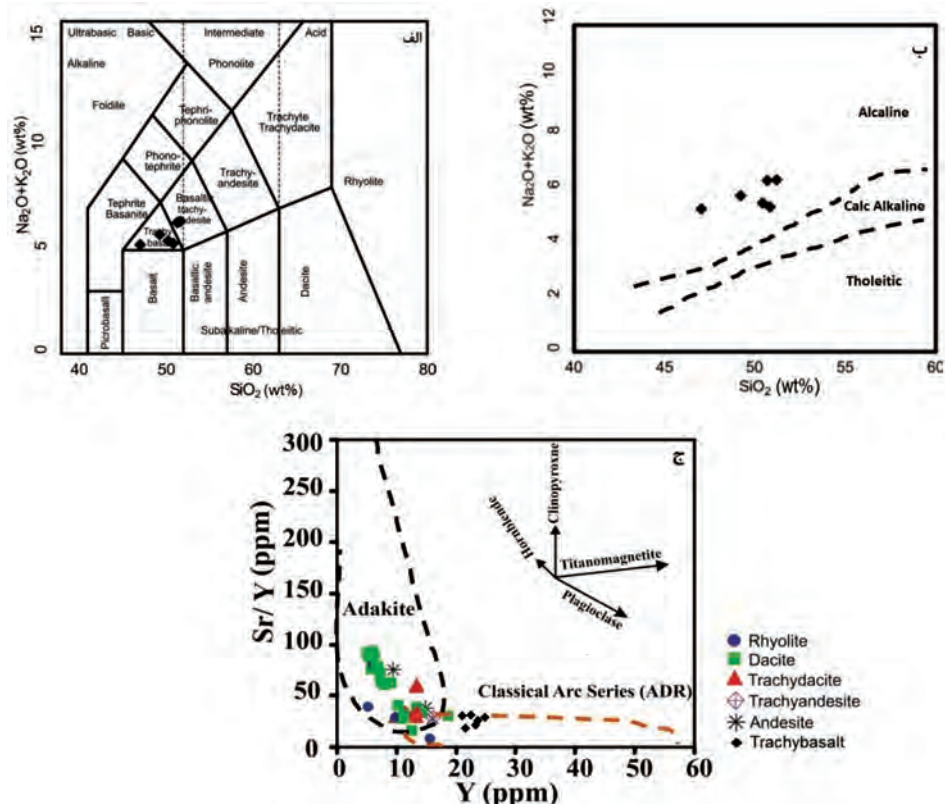
Sample	AR4	AR5	AR8	AR12	GHG1	GHG3	GHG5	GHG13	ZH6	ZH12
Area	Arsang				Ghochghou				Zohan	
SiO <sub>2</sub>	۶۷/۳۶	۶۵/۳۵	۷۰/۴۹	۶۸/۸۳	۶۶/۸۰	۶۶/۶۲	۶۲/۴۰	۶۵/۵۶	۶۹/۵۸	۶۷/۹۴
Al <sub>2</sub> O <sub>3</sub>	۱۵/۷۴	۱۹/۱۹	۱۹/۲۹	۱۵/۵۰	۱۵/۸۴	۱۵/۹۳	۱۹/۸۱	۱۷/۰۷	۱۶/۴۶	۱۷/۳۱
FeO	۱/۹۲	۱/۶۰	۰/۲۰	۲/۴	۱/۴۶	۱/۳۲	۱/۴۸	۲/۳۱	۱/۳۸	۱/۳۸
Fe <sub>2</sub> O <sub>3</sub>	۱/۹۲	۱/۶۰	۰/۲۰	۱/۳۵	۱/۴۶	۱/۳۲	۱/۴۸	۱/۵۴	۰/۹۲	۰/۹۲
MgO	۱/۸۹	۱/۴۰	۰/۰۸	۱/۴۵	۲/۱۰	۲/۳۴	۲/۳۷	۲/۶۶	۰/۹۲	۰/۹۳
CaO	۲/۴۰	۲/۴۴	۰/۳۴	۲/۲۸	۳/۰۶	۳/۴۹	۳/۶۴	۴/۴۹	۴/۲۶	۴/۷۰
Na <sub>2</sub> O	۰/۱۹	۰/۲۸	۰/۹۹	۰/۰۲	۷/۶۹	۷/۹۰	۶/۵۴	۴/۶۴	۴/۳۹	۴/۵۰
K <sub>2</sub> O	۲/۸۱	۲/۴۱	۲/۹۱	۲/۸۸	۰/۶۴	۰/۳۸	۰/۷۰	۱/۰۶	۱/۶۸	۱/۷۵
TiO <sub>2</sub>	۰/۵۳	۰/۴۶	۰/۴۹	۰/۴۶	۰/۴۵	۰/۴۶	۰/۴۳	۰/۴	۰/۲۶	۰/۲۷
P <sub>2</sub> O <sub>5</sub>	۰/۱۷	۰/۱۶	۰/۰۲	۰/۱۵	۰/۱۵	۰/۱۶	۰/۱۵	۰/۱۷	۰/۰۹	۰/۲۷
MnO	۰/۱۱	۰/۰۸	۰/۰۱	۰/۰۸	۰/۰۴	۰/۰۳	۰/۰۲	۰/۰۵	۰/۰۵	۰/۰۴
Cr <sub>2</sub> O <sub>3</sub>	۰/۰۱	۰/۰۰	۰/۰۰	۰/۰۱	۰/۰۱	۰/۰۱	۰/۰۰	۰/۰۱	۰/۰۰	۰/۰۰
Lol	۱/۱۰	۱/۷۰	۱/۰۰	۱/۰۰	۱/۰۰	۱/۸۰	۱/۵۰	۳/۴۰	۰/۹۰	۰/۷۰
Total	۱۰۰/۰۴	۱۰۰/۰۱	۱۰۰/۰۲	۱۰۰/۰۵	۹۹/۹۹	۹۹/۹۶	۱۰۰	۹۹/۹۷	۱۰۰	۱۰۰
Ba	۵۹۵	۴۷۶	۶۸۹	۵۹۲	۳۵۶	۱۲۳	۲۵۸	۳۲۳	۴۲۱	۳۸۹

## ادامه جدول .۲

Sample	AR4	AR5	AR8	AR12	GHG1	GHG3	GHG5	GHG13	ZH6	ZH12
Area	Arsang				Ghochghou				Zohan	
Cs	۱/۱۰	۰/۰۵	۰/۰۴	۰/۰۷	۰/۰۳	۰/۱۰	۰/۲۰	۰/۷۰	۰/۷۰	۰/۹۰
Hf	۳/۸۰	۳/۲۰	۳/۵۰	۳/۱۰	۴/۱۰	۳/۸۰	۳/۸۰	۳/۷۰	۲/۸۰	۲/۶۰
Nb	۲۲/۱۰	۲۴/۴۰	۲۵/۶۰	۲۴/۳۰	۱۵/۰۰	۱۳/۹۰	۱۴/۶۰	۱۴/۴۰	۶/۸۰	۶/۹۰
Rb	۸/۰۳۰	۶۶/۴۰	۶۵/۶۰	۷۸/۴۰	۲/۳۰	۹/۷۰	۱۶/۹۰	۳۲/۴۰	۳۶/۵۰	۳۷/۶۰
Sr	۳۶/۰۳۰	۳۶۶/۱۰	۲۰۵/۳۰	۳۸۲/۲۰	۴۴/۰۸۰	۳۶۵/۸۰	۴۸۹/۸۰	۵۱۲/۲۰	۵۵۳/۲۰	۵۶۳/۸۰
Ta	۲/۳۰	۲/۵۰	۲/۴۰	۲/۶۰	۱/۱۰	۱/۲۰	۱/۱۰	۱/۱۰	۰/۵۰	۰/۵۰
Th	۱۱/۹۰	۱۲/۸۰	۷/۱۰	۱۳/۲۰	۱۰/۷۰	۱۰/۱۰	۱۰/۰۰	۱۰/۳۰	۳/۹۰	۴/۷۰
U	۳/۹۰	۳/۷۰	۳/۸۰	۴/۲۰	۲/۸۰	۲/۰۰	۲/۵۰	۲/۶۰	۱/۲۰	۱/۴۰
W	۱/۴۰	۱/۲۰	۱/۰۰	۱/۷۰	۰/۵۰	۰/۵۰	۰/۵۰	۰/۸۰	۰/۵۰	۰/۵۰
Zr	۱۳۲/۰۰	۱۱۱/۴۰	۱۲۱/۱۰	۱۱۸/۹۰	۱۴۸/۶۰	۱۴۶/۹۰	۱۳۴/۴۰	۱۳۳/۱۰	۱۰۰/۰۰	۹۳/۵۰
Y	۱۱/۸۰	۱۱/۸۰	۵/۲۰	۱۱/۴۰	۱۳/۴۰	۱۳/۳۰	۱۳/۴۰	۱۳/۳۰	۵/۹۰	۱۸/۸۰
La	۲۸/۷۰	۲۸/۹۰	۱۵/۲۰	۲۸/۴۰	۱۷/۸۰	۲۱/۷۰	۲۱/۰۰	۲۶/۰۰	۱۵/۴۰	۳۸/۱۰
Ce	۴۵/۰۰	۴۸/۲۰	۲۳/۹۰	۴۵/۷۰	۳۴/۰۰	۳۷/۶۰	۴۱/۴۰	۴۴/۱۰	۲۵/۲۰	۷۹/۱۰
Pr	۴/۰۲	۵/۰۰	۲/۳۵	۴/۸۷	۳/۵۱	۳/۷۴	۴/۵۲	۴/۷۲	۲/۶۱	۹/۰۸
Nd	۱۶/۲۰	۱۶/۹۰	۷/۶۰	۱۵/۸۰	۱۳/۷۰	۱۴/۰۰	۱۵/۶۰	۱۶/۳۰	۸/۷۰	۳۱/۶۰
Sm	۲/۸۷	۲/۶۷	۱/۰۸	۲/۶۰	۲/۳۴	۲/۵۴	۲/۵۲	۲/۷۹	۱/۶۰	۴/۷۴
Eu	۰/۷۶	۰/۷۲	۰/۳۹	۰/۷۳	۰/۷۰	۰/۶۶	۰/۶۸	۰/۷۶	۰/۴۶	۰/۷۹
Gd	۲/۰۷	۲/۳۸	۰/۸۲	۲/۴۶	۲/۵۷	۲/۵۲	۲/۵۰	۲/۶۲	۱/۳۹	۴/۴۳
Tb	/۳۷	۰/۳۶	۰/۱۴	۰/۳۵	۰/۴۳	۰/۳۸	۰/۳۹	۰/۴۰	۰/۲۱	۰/۶۱
Dy	۱/۹۵	۲/۰۱	۰/۸۱	۱/۹۰	۲/۳۳	۲/۲۸	۲/۳۰	۲/۲۳	۱/۱۵	۲/۳۸
Ho	۰/۴۰	۰/۴۰	۰/۱۹	۰/۴۰	۰/۴۹	۰/۴۸	۰/۴۵	۰/۴۷	۰/۱۸	۰/۶۲
Er	۱/۳۰	۱/۱۳	۰/۶۱	۱/۱۸	۱/۳۷	۱/۴۳	۱/۳۱	۱/۲۸	۰/۶۳	۱/۶۷
Tm	۰/۲۱	۰/۲۰	۰/۱۲	۰/۱۹	۰/۲۲	۰/۲۲	۰/۲۱	۰/۲۱	۰/۱۰	۰/۲۵
Yb	۱/۲۸	۱/۳۱	۰/۸۷	۱/۱۵	۱/۵۲	۱/۳۱	۱/۳۵	۱/۳۹	۰/۶۳	۱/۳۹
Lu	۰/۲۱	۰/۲۰	۰/۱۶	۰/۲۰	۰/۲۷	۰/۲۳	۰/۲۱	۰/۲۲	۰/۱۱	۰/۱۹

جدول ۳. نتایج تجزیه‌های ایزوتوپی Sr-Nd متعلق به سنگ‌های بازالتی نوژن نوار ماقمایی قوچان-اسفراین

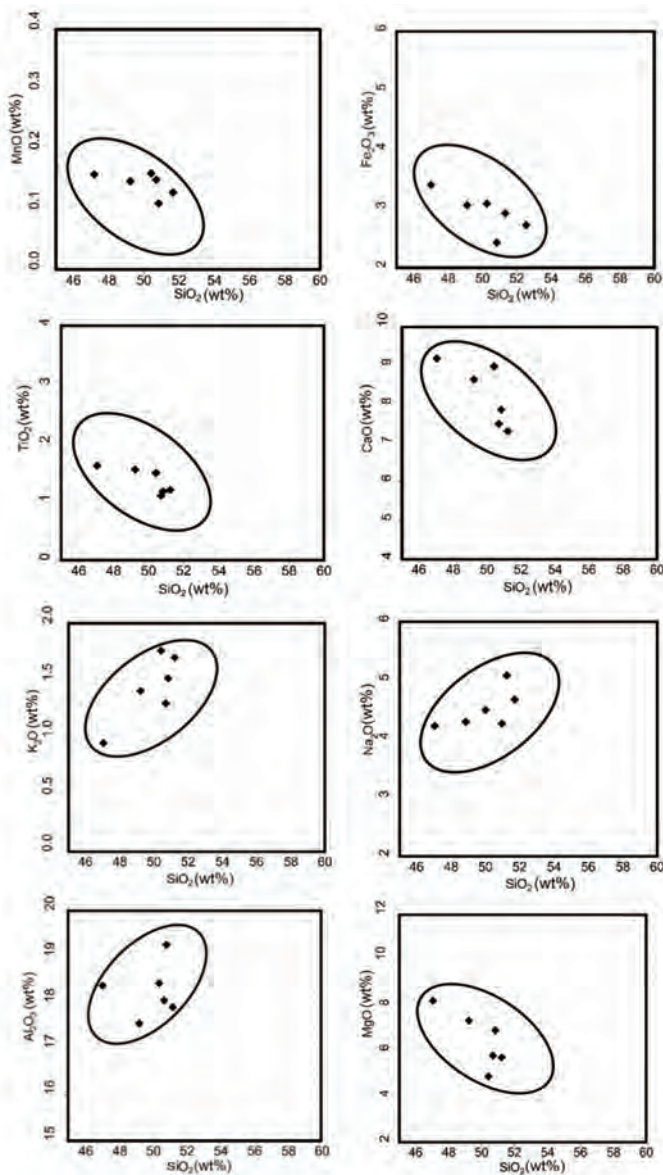
Sample	Nd (ppm)	Sm (ppm)	$(^{143}\text{Nd}/^{144}\text{Nd})\text{m}$	$(^{143}\text{Nd}/^{144}\text{Nd})\text{i}$	$\epsilon_{\text{Nd}}$ (10Ma)	Error (2s)	Sr (ppm)	Rb (ppm)	$(^{87}\text{Sr}/^{86}\text{Sr})\text{m}$	$(^{87}\text{Sr}/^{86}\text{Sr})\text{i}$	Error (2s)
GB1	۲۱/۹۰	۴/۲۲	-۰/۵۱۲۸۶۰	-۰/۵۱۲۸۴۵	۴/۵۲	-۰/۰۰۰۲۳	۷۶۰	۱۷	-۰/۷۰۴۸۲۱	-۰/۷۰۴۸۰۳	-۰/۰۰۰۲۰
GB2	۲۲/۸۵	۴/۷۷	-۰/۵۱۲۸۶۱	-۰/۵۱۲۸۴۱	۴/۵۲	-۰/۰۰۰۱۹	۶۴۸	۲۵	-۰/۷۰۴۳۶۴	-۰/۷۰۴۳۳۴	-۰/۰۰۰۱۸
GB3	۲۳	۴/۸۰	-۰/۵۱۲۸۵۴	-۰/۵۱۲۸۳۷	۴/۳۹	-۰/۰۰۰۱۱	۸۰۰	۱۸/۹۵	-۰/۷۰۴۱۲۴	-۰/۷۰۴۱۰۵	-۰/۰۰۰۲۱
GB4	۱۹	۳/۰۲	-۰/۵۱۲۷۷۳	-۰/۵۱۲۷۷۳	۲/۸۶	-۰/۰۰۰۱۱	۵۴۰	۵۲	-۰/۷۰۴۳۸۷	-۰/۷۰۴۳۰۷	-۰/۰۰۰۱۹



شکل ۴. (الف) موقعیت قرارگیری نمونه‌های بازالتی بر روی نمودار  $\text{SiO}_2$  در مقابل مجموع آکالی ( $\text{K}_2\text{O} + \text{Na}_2\text{O}$ ) (Le bas et al., 1986). (ب) نمودار  $\text{SiO}_2$  در برابر  $\text{Na}_2\text{O} + \text{K}_2\text{O}$  در نمودار آدکیتی نوار ماقمایی قوچان-اسفراین در نمودار (Drummond and Defant, 1990). (پ) نمودار  $\text{Sr}/\text{Y}$  در برابر  $\text{Y}$  (Sun and McDonough, 1989)

فرایند تفریق در ماقمای سازنده سنگ‌های منطقه است. همچنین، اثر آن می‌تواند بیانگر حضور گارنت در محل منشأ باشد (Clague et al., 1982). زیرا گارنت با حفظ عناصر نادر خاکی سنگین در خود، مقدار آن‌ها را در مذاب کاهش داده و درنتیجه الگوی عناصر نادر خاکی روندی شیب‌دار پیدا می‌کند (Lentz, 1998). بالا بودن نسبت LREE/HREE نشان‌دهنده عمق زیاد تولید ماقماً یعنی همان خاستگاه گوشه‌گارنت لرزولیتی است، زیرا در هنگام ذوب در اعماق زیاد، عناصر نادر خاکی سنگین معمولاً در شبکه روتیل، زیرکن و گارنت جای می‌گیرند و به درون مذاب HREE/LREE در فاز مایع کاهش می‌یابد (Ellam, 1992). همچنین در درجه‌های پایین ذوب بخشی گوشه (کمرتر از ۱۰ درصد)، می‌تواند به تشکیل ماقماهای بازالتی قلیایی منجر شود که در الگوی عناصر کمیاب خاکی سبک خود غنی شدگی نشان می‌دهند (Wass et al., 1980).

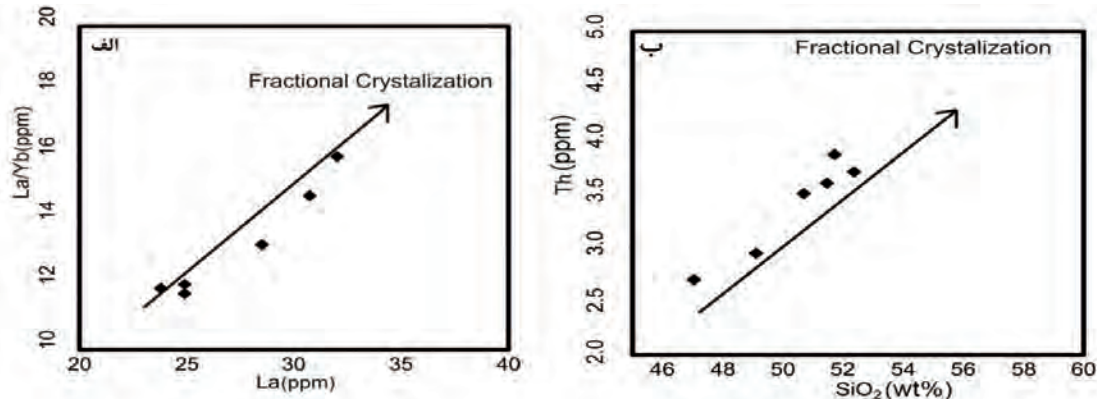
الگوی مواد اولیه در نمودارهای عنکبوتی بهنجار شده به گوشه اولیه (Nakamura, 1974) می‌توان غنی شدگی از عناصر با شدت میدان بالا در این بازالت‌ها مشاهده کرد. این غنی شدگی به خصوص در عنصر Nb (۳۰-۲۰ ppm)، از ویژگی‌های شاخص بازالت‌های سرشار از نیوبیوم می‌باشد. سنگ‌های بازالتی سرشار از نیوبیوم نوع نادری از بازالت‌های کمانی هستند که مشابه بازالت‌های کمانی شاخص نیستند. نمودار عنکبوتی و بهنجار شده سنگ‌های آدکیتی گنبدی نوار ماقمایی قوچان-اسفراین نیز جهت مقایسه با نمونه‌های بازالتی در شکل ۷ ارائه شده است. نمونه‌های بازالتی منطقه همچنین دارای غنی شدگی از عناصر لیتوفیل بزرگ یون و عناصر نادر خاکی سبک نسبت به عناصر نادر خاکی سنگین هستند (شکل ۷). شبکه کاهشی از La به Y در سنگ‌های بازالتی مورد مطالعه، نشانگر درجه پایین ذوب بخشی محل منبع (Srivastava et al., 2004) و بروز



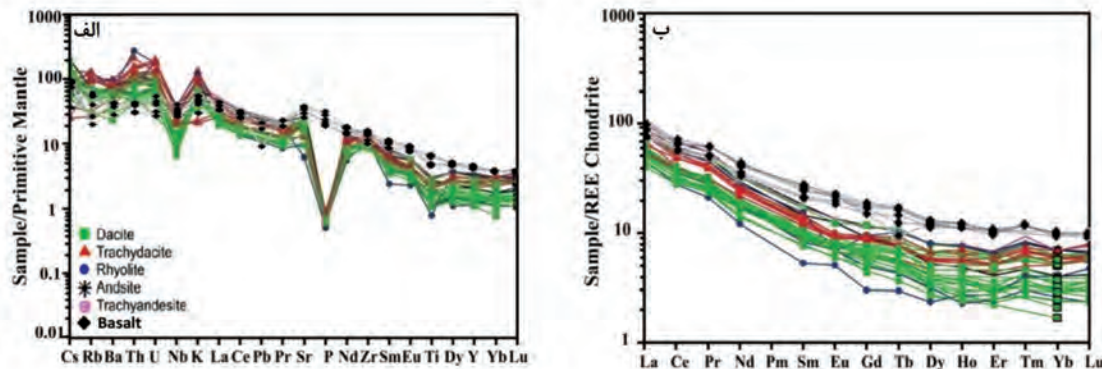
شکل ۵. موقعیت نمونه‌های بازالتی میوسن زیرین نوار ماجمایی قوچان-اسفراین در نمودارهای هارکر (Harker, 1909)

آدکیتی به درون گوه گوشته‌ای و دگرنهادی آن می‌شود. در این فرایند دگرنهادی، آمفیبیول تشکیل می‌شود که عناصر با شدت میدان بالا را در خود جای می‌دهد. بازشد پنجره در ورقه اقیانوسی فرورو سبب هجوم گوشته آستنوسفری در آغاز به درون گوه گوشته‌ای دگرنهاد و ذوب بخشی آن، واپاشی آمفیبیول و رهاسازی عناصر با شدت میدان بالا به ویژه نیوبیوم و تشکیل مagmaهای بازالتی آلکالن سرشار از Defant et al., 1992; Hastie, 2011; Castillo, 2012.

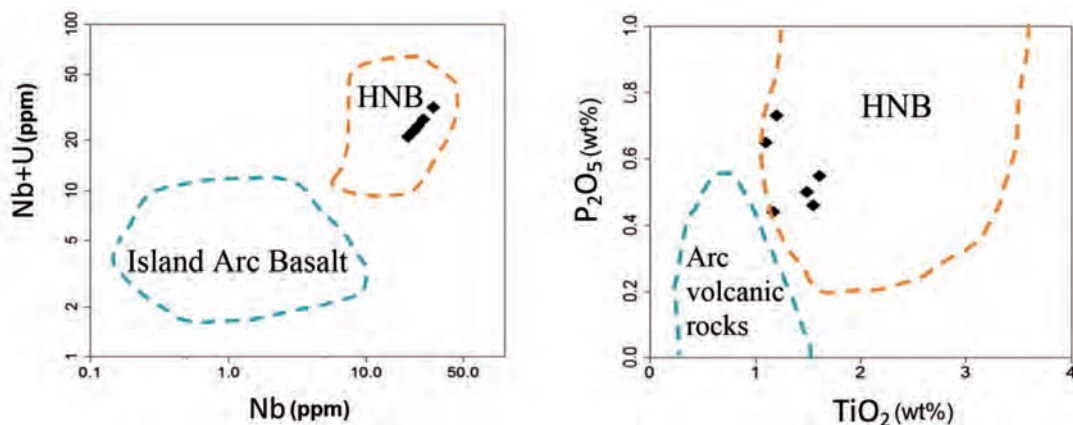
عناصر کمیاب و کمیاب خاکی نمونه‌ها نشانگر خاستگاه مشترک نمونه‌ها و نقش بر جسته تبلور تفرقی در شکل گیری magmaی سازنده آنها است (Rollinson, 1993). در نمودارهای  $\text{Nb}+\text{U}$  در مقابل  $\text{TiO}_2$  و  $\text{P}_2\text{O}_5$  در مقابل  $\text{Nb}$  (Defant et al., 1992) نمونه‌های بازالتی مورد مطالعه در محدوده بازالت‌های نوع HNB واقع می‌شوند (شکل ۸). مقایسه این بازالت‌ها با رخدادهای مشابه سنگ‌های غنی از  $\text{Nb}$ , بیانگر این است که ذوب ورقه اقیانوسی فرورونده گسیخته شده سبب تشکیل و صعود magmaی با سرعت



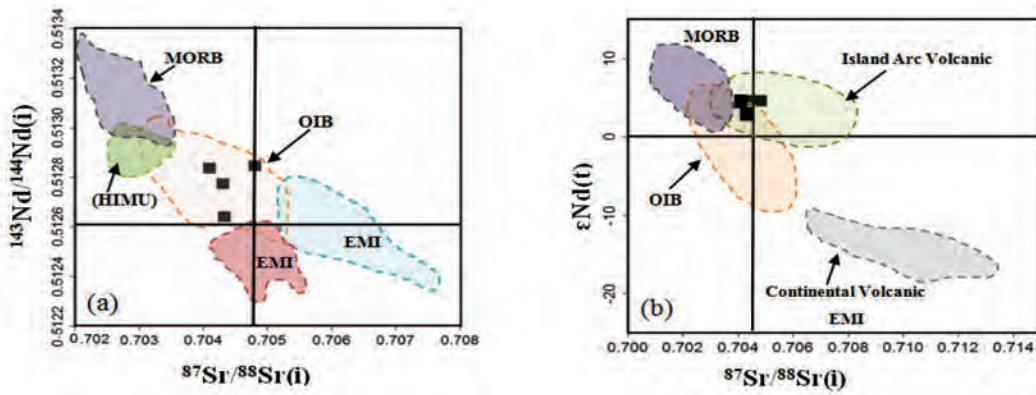
شکل ۶. الف) موقعیت قارگیری نمونه‌های بازالتی منطقه در نمودار  $\text{La}/\text{Yb}$  (ppm) در برابر  $\text{La}$  (ppm) (Saunders et al., 1979)، ب) نمودار  $\text{Th}$  در برابر  $\text{SiO}_2$  (Wilson, 1989)



شکل ۷. نمودارهای بهنجار شده عناصر خاکی نادر سنگ‌های بازالتی میوسن همراه با سنگ‌های آدکیتی نوار ماغمایی قوچان-اسفراین نسبت به (الف) گوشته‌ی اولیه (Nakamura, 1974). ب) نسبت به کندrit (Sun and McDonough, 1989).



شکل ۸. نمودارهای  $\text{Nb}+\text{U}$  در مقابل  $\text{Nb}$  و  $\text{P}_2\text{O}_5$  در مقابل  $\text{TiO}_2$  برای سنگ‌های بازالتی منطقه و محدوده‌های متمایز کننده بازالت‌های غنی از نیوبیوم (HNB) از بازالت‌های جزایر قوسی (IA) (Defant et al., 1992)



شکل ۹. (الف) نمودار نسبت‌های ایزوتوبی  $^{87}\text{Sr}/^{86}\text{Sr}$ (i) از  $^{143}\text{Nd}/^{144}\text{Nd}$ (i) در مقابل (b) Hofmann (1997) از  $^{87}\text{Sr}/^{86}\text{Sr}$  در مقابل  $e\text{Nd}(t)$  (Hart et al., 1989; Zindler and Hart, 1986) استفاده شده است.

تشکیل دهنده سنگ‌های منطقه مورد مطالعه با ترکیبات پوسه قاره‌ای بالایی در خالل بالاً‌مدن و یا تأثیر رسوبات بالای ورقه فرورونده اقیانوسی باشد.

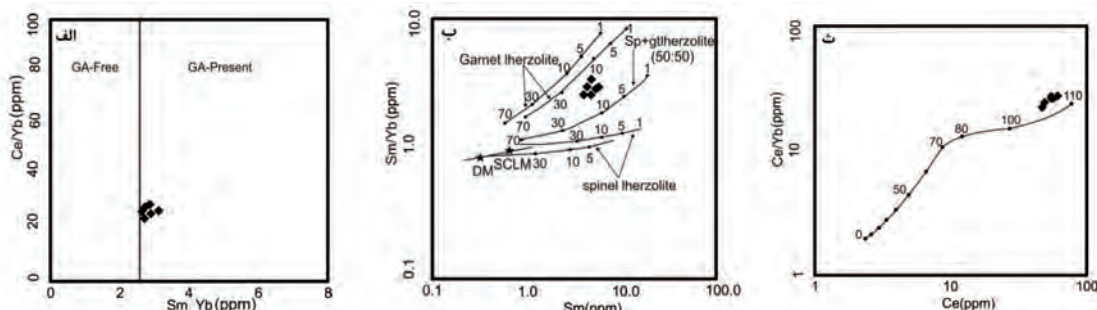
### محیط زمین ساختی

همان‌گونه که ذکر شد در برخی از محیط‌های زمین ساختی که آداسیت‌ها یافت می‌شوند می‌توان بازالت‌های غنی از HFSE را مشاهده کرد که بازالت‌های سرشار از نیوبیوم (Reagan and Gill, 1989; Defant et al., 1991) یا بازالت‌های نیوبیوم دار (Sajona et al., 1993, 1994) یا بازالت‌های می‌شوند که به عنوان مذاب‌های حاصل از ذوب خوانده می‌شوند که از گوشته متاسوماتیسم شده توسط مذاب‌های آداسیتی (Defant et al., 1992; Sajona et al., 1996). نسبت مقادیر Nb/Ta در مagmaهای کمانی حاصل از گوشته متاسوماتیسم شده توسط سیالات آبدار نسبت به گوشته‌ای که با مذاب‌های آداسیتی در تماس بوده است، به طور مشخصی قابل تفکیک است (با نسبت‌های بالای Nb/Ta حدود ۳۳) (Stoltz et al., 1996). به عنوان مثال می‌توان به magmaهای کمانی و پشت کمانی کامبرین نیوزلند (Munker, 1998)، magmaهای آداسیتی کمان غرب لوزان شامل جزایر باتان (Maury et al., 1998) و کامچاتکای شمالی (Kepezhinskas et al., 1996) اشاره

مقادیر نسبت آغازین  $^{143}\text{Nd}/^{144}\text{Nd}$  نمونه‌های بازالتی مورد مطالعه در محدوده  $0.512845 \pm 0.000512774$  تا  $0.512845 \pm 0.000512774$ ، مقادیر نسبت آغازین  $^{87}\text{Sr}/^{86}\text{Sr}$  این نمونه‌ها بین  $2.446 \pm 0.0070$  تا  $2.480 \pm 0.0070$  و مقادیر  $e\text{Nd}(t)$  آنها بین  $4.52 \pm 2.0$  تا  $4.52 \pm 2.0$  متغیر است. نتایج تجزیه ایزوتوبی نمونه‌ها در جدول ۳ آمده است. نمودار نسبت‌های ایزوتوبی Sr و Nd نشان می‌دهد که همه نمونه‌ها در محدوده آرایه گوشته‌ای و محدوده همپوشان بازالت‌های نوع OIB و قرار گرفته‌اند (شکل ۹-الف و ب). همان‌گونه که در نمودارهای ایزوتوبی مشاهده می‌شود، گدازه‌های بازالتی منطقه در مقایسه با منابع فرضی مانند DMM (گوشته تهی شده MORB) که منشای برای بازالت‌های پشت میان اقیانوسی است و PM (گوشته اولیه) به عنوان منشا بازالت‌های درون ورقه‌ای نوع OIB، از یک منشاء غنی شده‌تر سرچشمه گرفته‌اند. در نمونه‌های تراکی آندزی بازالتی نسبت‌های  $^{143}\text{Nd}/^{144}\text{Nd}$  پایین تر و  $^{87}\text{Sr}/^{86}\text{Sr}$  بالاتر از نمونه‌های الیوین بازالتی می‌باشد که می‌تواند به دلیل آلایش با سنگ‌های پوسه ای ایجاد شده باشد. میانگین نسبت‌های Th/Nb و Nb/U و Nb/La برای سنگ‌های بازالتی مورد مطالعه، به ترتیب  $7/24$ ,  $30/33$  و  $8/8$  است، که نسبت به مقادیر گوشته اولیه ( $\text{Nb}/\text{Th}=8/4$ ,  $\text{Nb}/\text{La}=1/0.4$ ,  $\text{Nb}/\text{U}=3/4$ ) کمتر می‌باشند و می‌تواند نشانگر آلایش magmaی

آنها می‌باشد (Rollinson, 1993). همان‌گونه که ذکر شد از ژئوشیمی عناصر کمیاب خاکی برای تعیین درجه ذوب بخشی و ژرفای خاستگاه گوشه‌ای ماقماهای اولیه استفاده می‌شود. در نمودار  $\text{Sm}/\text{Yb}$  در برابر  $\text{Ce}/\text{Yb}$  که برای تشخیص حضور یا نبود گارنت در محل منشا این سنگ‌ها استفاده می‌شود، حضور گارنت را در محل منشا این سنگ‌ها به اثبات می‌رساند (شکل ۱۰-الف). در نمودار  $\text{Sm}/\text{Yb}$  به اثبات می‌رساند (شکل ۱۰-الف). در این نمودار  $\text{Sm}/\text{Yb}$  نسبت  $\text{Sm}$  ذوب بخشی یک گوشه‌های گارنت پریدوتیتی نسبت به گوشه‌های اسپینل پریدوتیتی روندهایی با شبیه تندتر را نشان می‌دهند (Zhao and Zhou, 2007). در این نمودار سنگ‌های منطقه مورد مطالعه دارای نسبت‌های بالاتری از  $\text{Sm}/\text{Yb}$  نسبت به منحنی ذوب اسپینل پریدوتیت و اسپینل گارنت پریدوتیت است که نشان دهنده ذوب بخشی ۱۰ تا ۱۵ درصدی گارنت پریدوتیت است (شکل ۱۰-ب). با توجه به حساسیت نسبت عناصر نادرخاکی مانند  $\text{Yb}/\text{Ce}$  به تغییرات ضخامت لیتوسفر و مقدار این نسبت در بازالت‌های های منطقه (شکل ۱۰-ث)، می‌توان گفت که ماقمایی والد آنها در منطقه پایداری گارنت و عمق حدود ۱۰۰ تا ۱۱۰ کیلومتری به وجود آمده است (Ellam, 1992).

کرد. برای تشکیل بازالت‌های سرشار از نیوبیوم دو مدل توسط پژوهشگران پیشنهاد شده است. در مدل اول، این سنگ‌ها از یک منشأ گوشه‌ای نوع OIB (بازالت‌های جزایر اقیانوسی) به وجود آمده‌اند (Castillo, 2008; Gazel et al., 2011)، ولی در مدل دوم، گوشه‌ته متاسوماتیسم شده توسط مذاب‌های آدکیتی را سبب به وجود آمدن این بازالت‌های سرشار از نیوبیوم می‌دانند (Defant et al., 1992; Straub, 2013; Imaoka et al., 2014). با درنظر گرفتن محتوای عناصر کمیاب، تمایز بین این دو منشأ قابل تشخیص می‌باشد. بازالت‌های منطقه مورد مطالعه بوسیله نسبت‌های پایین  $\text{U}/\text{Nb}$  (۳۵-۲۰)، که به طور مشخصی کمتر از بازالت‌های نوع MORB و OIB (حدود ۴۷) می‌باشد، متمایز می‌شوند (Hofann et al., 1986). این مقادیر با تولید ماقما در محیط‌های مرتبط با فروزانش مطابقت دارد (Pearce and Peate, 1995). تمرکز عناصر با شدت میدان بالا در بازالت‌های منطقه مورد مطالعه نشان می‌دهند که این سنگ‌ها نمی‌توانند بوسیله ذوب منشأ اسپینل پریدوتیت (منشاء متداول برای بازالت‌های نوع REE) تشکیل شوند. این سنگ‌ها دارای تمرکز پایین OIB و  $\text{Y}$  هستند که نشان دهنده وجود گارنت در ناحیه منشأ



شکل ۱۰. موقعیت نمونه‌های بازالتی میوسن نوار ماقمایی قوچان-اسفراین در نمودارهای (الف)  $\text{Sm}/\text{Yb}$  در برابر  $\text{Ce}/\text{Yb}$  (Coban, 2007) (ب)  $\text{Sm}/\text{Yb}$  در برابر  $\text{Sm}$  جهت تعیین درجه ذوب بخشی (Li and Chen, 2014) (پ) ماقماهای سازنده این سنگ‌ها از ذوب بخشی ۱۰ تا ۱۵ درصدی سنتون‌های گوشه‌ای گارنت لرزولیتی (در زیر البرز شرقی) حاصل شده است، پ) نمودار  $\text{Ce}/\text{Yb}$  در برابر  $\text{Ce}$  (Ellam, 1992) بیانگر عمق منشأگیری ماقمایی موردنده سنگ‌های تشکیل دهنده سنگ‌های ماقمایی در اعماق ۱۰۰ تا ۱۱۰ کیلومتری می‌باشد.

### مطالعات ساختاری و ژئوشیمیایی بر روی سنگ‌های

#### آتشفشاری و سنگ‌های آذرین درونی

(Rossetti et al., 2010; Alaminia et al., 2013; Khalatbari Jafari et al., 2013; Jamshidi et al., 2014; Shafaii Moghadam et al., 2016; Jamshidi

et al., 2015b; Jamshidi et al., 2015a ; Maghfouri et al., 2016; Ghasemi et al., 2016 سبزوار نشان دهنده تغییر ترکیب سنگ‌های ماقمایی از تولئیتی به کالک آلکن و آکالان می‌باشد. به نظر می‌رسد

ورقهای و فروزانشی حاشیه قاره‌ای و با ترکیب بازالت‌های قلیایی سرشار از نیوبیوم ایجاد کرده است (Castillo, 2008). این مذاب‌ها از طریق سیستم‌های شکستگی و گسلی، به ترازهای بالاتر پوسته قاره‌ای صعود کردند و در داخل حوضه‌های رسوی این پهنه‌ها جایگزین شده‌اند.

## نتیجه‌گیری

سنگ‌های آتشفشنانی با ترکیب الیوین بازالتی و تراکی آندزیت بازالتی با سن میوسن در نوار ماقمایی قوچان-اسفراین در شمال افیولیت‌های سبزوار قرار دارند. با توجه به شواهد ژئوشیمیایی و ایزوتوبی، ماقمای والد این بازالت‌ها دارای ماهیت آلکالن سدیک بوده و از نوع بازالت‌های کمیاب سرشار از نیوبیوم بوده است که همراه با آداکیت‌های سلیس بالا در مناطق کششی داخل کمان و در مرحله پس از برخورد ایجاد می‌شوند. ماقمای سازنده این سنگ‌ها از ذوب بخشی ۱۰ تا ۱۵ درصدی یک ستون گوشت‌های گارنت لرزولیتی در اعمق ۱۰۰ تا ۱۱۰ کیلومتری، حاصل شده و در جریان صعود به سطح متحمل فرایندهای تبلور تفریقی و آلایش پوسته‌ای شده است.

## سپاسکزاری

این پژوهش در راستای انجام رساله دکتری نگارنده اول مقاله و با حمایت‌های مالی و معنوی معاونت پژوهشی دانشگاه صنعتی شاهroud انجام شده است، بنابراین از آنان تقدیر می‌شود.

## منابع

- امینی، ب.، ۱۳۷۹. نقشه زمین‌شناسی ۱:۱۰۰۰۰۰.
- چهارگوش مشکان، سازمان زمین‌شناسی کشور.
- تنها، ع.، ۱۳۸۸. پتروزن سنگ‌های آذرین نئوزن، شمال عنبرآباد (مشکان). پایان‌نامه کارشناسی ارشد، دانشکده علوم زمین، دانشگاه صنعتی شاهroud، ۱۶۲.
- رئیسی، د.، درگاهی، س.، معین‌زاده، س.، ح.، آروین، م. و بهرام بیگی، ب.، ۱۳۹۲. ژئوشیمی و پتروزن آکالی بازالت‌های کواترنزی گندم بریان، شمال شهداد، استان کرمان. فصلنامه علوم زمین، سازمان زمین‌شناسی و اکتشافات معدنی ایران، ۲۳ (۸۹)، ۲۱-۳۲.

فرایند عقب نشینی ورقه نئوتیس که معمولاً به وسیله افزایش سرعت همگرایی در کمریند فروزانش اتفاق می‌افتد سبب تحریک تشکیل قلمروهای کششی پشت کمان در صفحه بالایی قاره‌ای شده است. همانطور که پیش تر ذکر شد، مجموعه افیولیتی سبزوار در طول رخداد حرکت رو به شمال و پرشیب اقیانوس سبزوار و در نهایت بسته شدن این حوضه آبی در کرتاسه بالایی-پالئوسن زیرین حاصل شده است (Shojaat et al., 2003). جایگزینی نوار افیولیتی سبزوار به وسیله فعالیت‌های آتشفشنانی از ائوسن (۴۰ میلیون سال) در کمریند سبزوار و تا انتهای پلیوسن (۳/۲ میلیون سال) در کمان آتشفشنانی قوچان-اسفراین ادامه یافته است (Spies et al., 1983؛ Baumann et al., 1983)؛  
قادسی و همکاران، ۱۳۸۹. با توجه به این بازه زمانی از فعالیت‌های آتشفشنانی و جوان‌تر شدن ماقماتیسم از کمریند افیولیتی سبزوار به سمت قوچان در کمان ماقمایی قوچان-اسفراین به نظر نمی‌رسد که ورقه اقیانوسی سبزوار به سرعت مصرف شده باشد و فرایندهای دیگری باید در تولید جریان‌های بالای گرمایی و ایجاد مذاب‌هایی مشتق شده از ورقه اقیانوسی و تولید ماقمای آداکیتی سلیس بالا در این نواحی درگیر بوده باشند. گسیختگی ورقه فرورونده (بارشدن پنجره) و بالا آمدن آستنوسفر داغ از طریق این دریچه، فرایند قابل توجیهی برای توضیح تولید و تداوم جریان‌های گرمایی Von Blanckenburg and Davis, 1995. برخی از بخش‌های ماقماهای آداکیتی با پریدوتیت‌های گوه گوشت‌های واکنش می‌دهند و باعث دگرنهاد شدن آن می‌شوند. این مذاب‌های آداکیتی حاصل از ذوب ورقه اقیانوسی فرورو به سوی سطح زمین حرکت می‌کنند و سنگ‌هایی با ماهیت آداکیتی سلیس بالا را تولید می‌کنند. گسیختگی ورقه فرورونده سبزوار و بالا آمدگی گوشته در این ناحیه باعث ایجاد محیط کششی در زیر سنگ کره‌ی قاره‌ای شده است (Mazaheri et al., 2015). بالا آمدگی بخش‌هایی از آستنوسفر داغ از میان دریچه ورقه گسیخته شده به سمت گوه گوشت‌هایی دگرنهاد شده باعث ذوب بخشی درجه پایین در این ناحیه شده و مذاب‌های بازالتی نادری با ویژگی دوگانه محیط‌های کششی درون

- بیست و چهارمین همایش بلورشناسی و کانی شناسی ایران، دانشگاه صنعتی شاهروود، ۳۳۵-۳۲۹. ۱۳۸۷.
- گردیده، س.، قاسمی، ح.، صادقیان، م.، ۱۳۹۷.
- سن سنجی U-Pb بر روی بلورهای زیرکن، نسبت‌های ایزوتوپی Sr-Nd و زمین‌شیمی گنبدهای آدکیتی نئوژن کمان ماغمایی قوچان-اسفراین، شمال شرق ایران. مجله بلورشناسی و کانی‌شناسی ایران، ۴۵۳، ۲، ۴۷۶-۴۵۳.
- Ahmadi, P., Ghorbani, M.R., Coltori, M., Kuritani, T., Cai, Y., Fioretti, A.M., Braschi, E., Giacomoni, P.P., Babazadeh, Sh. and Conticelli, S., 2017. Slab-derived melt involvement in petrogenesis of the high-Nb basalts and magnesian andesites-dacites from NE Iran. Journal of Geophysical Research Abstracts, 19, 11578-1.
- Alavi, M., 1994. Tectonics of Zagros orogenic belt of Iran, new data and interpretation. Tectonophysics, 229, 211-238.
- Alamnia, Z., Karimpour, M.H., Homam, S.M. and Finger, F., 2013. The magmatic record in the Arghash region (northeast Iran) and tectonic implications. International Journal of Earth Sciences, 102, 1603-1625.
- Allen, M. B., Jackson, J. and Walker, R., 2004. Late Cenozoic reorganization of the Arabia-Eurasia collision and the comparison of short-term and long-term deformation rates. Tectonics, 23, 1-16.
- Bauman A., Spies O. and Lensch G., 1983. Strontium isotopic composition of post-ophiolithic tertiary volcanics between kashmar, sabzevar and Quchan NE Iran Geodynamic project (geotraverse) in Iran, Final report. Geological Survey of Iran, 51.
- Castillo, P.R., 2008. Origin of the adakite-high-Nb basalt association and its implications for postsubduction magmatism in Baja California, Mexico. Geological Society of America Bulletin, 120, 451-462.
- Castillo, R.C., 2012. Adakite petrogenesis. Lithos, 134, 135, 304-316.
- Clague, D. A. and Frey, F.A., 1982. Pe-
- صالحی نژاد، ح.، بررسی پترولوزی و ژئوشیمی گنبدهای ساب و لکانیک منطقه باشتین (جنوب غربی سبزوار). پایان نامه کارشناسی ارشد، دانشکده علوم زمین، دانشگاه صنعتی شاهروود، ۱۰۴.
- فتاحی، ا.، رخسارهای مکانیسم فوران آتشفشاران مارکوه جنوب غرب قوچان. پایان نامه کارشناسی ارشد، دانشکده علوم زمین، دانشگاه صنعتی شاهروود، ۱۸۵.
- قاسمی، ح.، صادقیان، م.، خانعلی‌زاده، ع. و تنهای، ع.، ۱۳۸۹. سنگ‌شناسی، ژئوشیمی و سن تابش سنجی گنبدهای آدکیتی پرسیلیس کمان قاره‌ای نئوژن، جنوب قوچان. مجله بلورشناسی و کانی‌شناسی ایران، ۱۸، ۳۷۰-۳۴۷.
- قاسمی، ح. و جمشیدی، خ.، ۱۳۹۰. ژئوشیمی، سنگ‌شناسی و الگوی تکتونوماگمایی پیشنهادی برای تشکیل سنگ‌های بازی قلیابی در قاعده‌ی سازند شمشک، زون البرز خاوری. مجله بلورشناسی و کانی‌شناسی ایران، ۱۹، ۷۱۴-۶۹۹.
- قاسمی، ح.، الهیاری، س.، طاهری، ع. و صادقیان، م.، ۱۳۹۲. موقعیت چینه شناختی و تحلیل بافتی سنگ‌های آتشفشاری نوار آتشفشاری رسوبی عباری آباد، شمال شرق شاهروود. پژوهش‌های چینه نگاری و رسوب شناسی، ۱، ۴۲-۲۵، ۲۹.
- قاسمی، ح. و برهمند، م.، پترولوزی و ژئوشیمی سنگ‌های آذرین موجود در سازند قرمز زیرین منطقه گرمسار. فصلنامه زمین‌شناسی ایران، ۲۶(۷)، ۱۷-۳۳.
- قاسمی، ح.، رستمی، ح. م.، صادقیان، م. و کدخدای عرب، ف.، ۱۳۹۵. (الف) ماقماتیسم کششی پشت کمانی در حوضه الیگومیوسن لبه شمالی ایران مرکزی. فصلنامه علوم زمین، سازمان زمین‌شناسی و اکتشافات معدنی ایران، ۲۵، ۹۹، ۲۵۲-۲۳۹.
- قاسمی، ح.، سریزن، ر. و طاهری، ع.، ۱۳۹۵. (ب) ویژگی‌های خاستگاه و جایگاه زمین‌ساختی ماقماتیسم بازیک در سازند قرمز زیرین، شمال گرمسار (سمنان، ایران مرکزی). مجله پترولوزی، ۷، ۲۷، ۱۰۵-۱۲۴.
- گردیده، س.، قاسمی، ح.، صادقیان، م.، ۱۳۹۵. ژئوشیمی و ترکیب محل منشا گنبدهای آدکیتی نئوژن کمان ماغمایی قوچان-اسفراین، شمال شرق ایران.

- trology and trace element geochemistry of the Honolulu Volcanics, Oahu: Implications for the oceanic mantle below Hawaii, I. Journal of Petrology, 23, 447-504.
- Coban, H., 2007. Basalt magma genesis and fractionation in collision-and extensionrelated provinces: A comparison between eastern, central and western Anatolia. Earth Science Reviews, 80, 219-238.
  - Defant, M.J., Jackson, T.E., Drummond, M.S., De Boer, J.Z., Bellon, H., Feigenson, M.D., Maury, R.C. and Stewart, R.H., 1992. The geochemistry of young volcanism throughout western Panama and southeastern Costa Rica: an overview Journal Geological Society London, 149, 569-579.
  - Drummond, M.S. and Defant M. J., 1990. A model for trondhjemite tonalite-dacite genesis and crustal growth via slab melting: archean to modern comparisons. Journal of Geophysical Research, 95, 21503-21521.
  - Ellam, R. M., 1992. Lithospheric thickness as a control on basalt geochemistry. Geology, 20, 153-156.
  - Emami, M. H., 2001. Magmatism in Iran. Geological Survey of Iran, Tehran (in Persian). 440.
  - Gazel, E., Hoernle, K., Carr, M.J., Herzberg, C., Saginor, I., Van den Bogaard, P., Hauff, F., Feigenson, M. and Swisher III, C., 2011. Plumeesubduction interaction in southern Central America: mantle upwelling and slab melting. Lithos, 121, 117-134.
  - Ghasemi, H., Rostami, M., Sadeghian, M. and Kadkhodaye, F., 2016. Back-arc extensional magmatism in the Oligo-Miocene basin of the Central Iran. Scientific Quarterly Journal of Geological Survey of Iran. In Persian with English abstract. Geosciences, 25, 99, 239-253.
  - Gill, R., 2010. Igneous rocks and processes a practical guide. Department of Earth Sciences Royal Holloway University of London, 472.
  - Hart, S.R., Hauri E.H., Oschmann L.A. and Whitehead J. A., 1992. Mantle plumes and entrainment; isotopic evidence. Science, 256, 5056, 517-520
  - Hart, W.K., Woldegabriel, G., Walter, R.C. and Mertzman, S.A., 1989 . Basaltic volcanism in Ethiopia: constraints on continental rifting and mantle interactions. Journal of Geophysical Research: Solid Earth, 94, B6, 7731-7748.
  - Hastie, A.R., Mitchell, S.F., Kerr, A.C., Minifie, M.J. and Millar, I.L., 2011. Geochemistry of rare high-Nb basalts: are they derived from a mantle wedge metasomatised by slab melts? Geochem. Cosmochim. Acta, 75, 5049-5072.
  - Harker, A., 1909. The Natural History of Igneous Rocks. Methuen, London , 255.
  - Hofmann, A.W., Jochum, K., Seufert, M. and White, M., 1986. Nb and Pb in oceanic basalts: new constraints on mantle evolution. Earth Planetary Science Letters, 79, 33-45.
  - Hofmann, A.W., 1997. Mantle geochemistry: the message from oceanic magmatism. Nature 385, 219-229.
  - Irvine T.N. and Baragar W.R.A., 1971. A guide to the chemical classification of the common volcanic rocks, Canadian Journal of Earth Sciences, 8, 523-548.
  - Imaoka, T., Nakashima, K., Kamei, A., Itaya, T., Ohira, T., Nagashima, M., Kono, N. and Kiji, M., 2014. Episodic magmatism at 105 Ma in the Kinki district, SW Japan:petrogenesis of Nb-rich lamprophyres and adakites, and geodynamic implications. Lithos, 184-187, 105-131
  - Jamshidi, Kh., Ghasemi, H. and Sadeghian, M., 2014. Petrology and geochemistry of the Sabzevar post-ophiolitic high silica adakitic rocks. Scientific Quarterly Journal of University of Isfahan, Iran. In Persian with English abstract. Petrology, 5, 17, 51-68.

- Jamshidi, Kh., Ghasemi, H., Troll, V.R., Sadeghian, M. and Dahren, B., 2015a. Magma storage and plumbing of adakite-type post-ophiolitic intrusions in the Sabzevar ophiolitic zone, NE Iran. *Journal of Solid Earth*, 6, 49-72.
- Jamshidi, Kh., Ghasemi, H. and Miao, L., 2015b. U-Pb age dating and determination of source region composition of post-ophiolite adakitic domes of Sabzevar. *Scientific Quarterly Journal of University of Isfahan, Iran*. In Persian with English abstract. *Petrology*, 6, 23, 121-138.
- Kepezhinskas, P.K., Defant, M.J. and Drummond, M.S., 1996. Progressive enrichment of island arc mantle by melt-peridotite interaction inferred from Kamchatka xenoliths. *Geochem. Cosmochim. Acta* 60, 1217-1229.
- Kirkpatrick, R.G., 1977. Nucleation and growth of plagioclase, Makaojuhe and Alane lava lakes Kilauea volcano, Hawaii. *Geological Society of America Bulletin*, 88, 78-84.
- Le Bas, M.J., Le Maitre, R.W., Streckeisen A. and Zanettin B.A., 1986. chemical classification of volcanic rocks based on the total alkali-silica diagram, *Journal of Petrology*, 27, 745-750.
- Khalatbari Jafari, M., Babaie, H.A. and Gani, M., 2013a. Geochemical evidence for Late Cretaceous marginal arc-to-backarc transition in the Sabzevar ophiolitic extrusive sequence, northeast Iran. *Journal of Asian Earth Sciences*, 70-71, 209-230.
- Lentz, D.R., 1998. Petrogenetic evolution of felsic volcanic sequences associated with Phanerozoic volcanic-hosted massive sulfide systems: The role of extensional geodynamics. *Ore Geology Reviews*. 289-327.
- Li, C.F., Li, X.H., Li, Q.L., Guo, J.H., Li, X.H. and Yang, Y.H., 2012. Rapid and precise determination of Sr and Nd isotopic ratios in geological samples from the same filament loading by thermal ionization mass spectrometry employing a single-step separation scheme. *Analytica Chimica Acta*, 727 54-60.
- Li, Z. and Chen, B., 2014. Geochronology and geochemistry of the Paleoproterozoic metabasalts from the Jiao-Liao-Ji Belt, North China Craton: Implications for petrogenesis and tectonic setting. *Precambrian Research*, 255, 653-667.
- Maury, R.C., Defant, M. J., Bellon, H., Jacques, D., Joron, J.-L., McDermott, F. and Vidal, P., 1998. Temporal geochemical trends in northern Luzon arc lavas (Philippines): implications on metasomatic processes in the island arc mantle. *Bulletin de la Société Géologique de France*, 69, 1, 69-80.
- Maghfouri, S., Rastad, E., Mousivand, F., Lin, Y. and Zaw, Kh., 2016. Geology, ore facies and sulfur isotopes geochemistry of the Nuduh Besshi-type volcanogenic massive sulfide deposit, southwest Sabzevar basin, Iran. *Journal of Asian Earth Sciences*, 125, 1-25.
- Mazaheri, S.A., 2015. Petrogenesis of adakite and high-Nb basalt association in the SW of Sabzevar Zone, NE of Iran: Evidence for slab-meltemantle interaction. *Journal of African Earth Sciences*, 116, 170-181.
- McBirney, A. R., 1993. Igneous Petrology, Second edition, John and Bartlett. Publication, 507.
- Münker, C., 1998. Nb/Ta fractionation in a Cambrian arc/back arc system, New Zealand: Source constraints and application of refined ICPMS techniques. *Chemical Geology*, 144, 23-45.
- Nakamura, M. and Shimakita S., 1974. Dissolution origin and syn-entrapment compositional change of melt inclusion in plagioclase, *Earth and Planetary Science Letters*, 161, 119-133.
- Pearce, J.A. and Peate, D.W., 1995. Tectonic implications of the composition of volcanic arc magmas. *Annual Review of Earth Planetary Science*, 23, 251-285.
- Reagan, M.K. and Gill, J.B., 1989. Coex-

- isting calcalkaline and high-niobium basalts from Turrialba volcano, Costa Rica: implications for residual titanites in arc magma sources. *Journal of Geophysical Research*, 94, 4619–4633.
- Rollinson, H.R., 1993. Using Geochemical Data: evaluation, presentation, interpretation. Longman, 325.
  - Rossetti, F., Nasrabad, M., Vignaroli, G., Theye, T., Gerdes, A., Razavi, M. and Moin Vazir, H., 2010. Early Cretaceous migmatitic mafic granulites from the Sabzevar range (NE Iran): implications for the closure of the Mesozoic peri-Tethyan oceans in central Iran. *Terra Nova*, 22, 26–34.
  - Rossetti, F., Nasrabad, M., Theye, T., Gerdes, A., Monié, P., Lucci, F. and Vignaroli G., 2014. Adakite differentiation and emplacement in a subduction channel: The late Paleocene Sabzevar magmatism (NE Iran). *Geological Society of America Bulletin*, 126, 317–343.
  - Sajona, F.G., Maury, R.C., Bellon, H., Cotton, J., Defant, M. J., Pubellier., M. and Rangin, C., 1993. Initiation of subduction and the generation of slab melts in western and eastern Mindanao, Philippines. *Geology*, 21, 1007–1010.
  - Sajona, F.G., Bellon, H., Maury, R.C., Pubellier, M., Cotton, J. and Rangin, C., 1994. Magmatic response to abrupt changes in geodynamic settings: Pliocene–Quaternary calc-alkaline lavas and Nb-enriched basalts of Leyte and Mindanao (Philippines). *Tectono-Physics*, 237, 47–72.
  - Sajona, F.G., Maury, R.C., Bellon, H., Cotton, J. and Defant, M.J., 1996. High field strength element enrichment of Pliocene-Pleistocene island arc basalts, Zamboanga Peninsula, western Mindanao (Philippines). *Jurnal Petrol*, 37, 693–726.
  - Samuel, M.D., Moussa, H.E. and Azer, M.K., 2007. A-type volcanics in Central Eastern Sinai, Egypt. *Journal of African Earth Sciences*, 47, 203–226.
  - Shafaii Moghadam, H., Rossetti, F., Lucci, F., Chiadra, M., Gerdes, A., Martinez, M.L., Ghorbani, Gh. and Nasrabad, M., 2016. The calc-alkaline and adakitic volcanism of the Sabzevar structural zone (NE Iran): Implications for the Eocene magmatic flare-up in Central Iran. *Lithos*, 248–251, 517–535.
  - Shabanian, E., Acocella, V., Gioncada, A., Ghasemi, H. and Bellier, O., 2012. Structural control on volcanism in intraplate post collisional settings: Late Cenozoic to Quaternary examples of Iran and Eastern Turkey. *Tectonics*, 31, 3013–3042.
  - Shelly, D., 1993. Igneous and Metamorphic Rocks under microscope: classification features, microstructures and mineral preferred orientations, Chapman and Hall, London, 405.
  - Shojaat, B., Haanipak, A., Mobasher, K. and Ghazi, A., 2003. Petrology, geochemistry and tectonics of the Sabzevar ophiolite, North Central Iran. *Journal of Asian Earth Sciences*, 21, 1053–1067.
  - Spies O., Lensch G. and Mihem A., 1983. Geochemistry of the post-ophiolitic Tertiary volcanics between Sabzevar and Quchan (NE Iran). *GSI*, 51, 247–266.
  - Srivastava, R.K. and Singh, R.K., 2004. Trace element geochemistry and genesis of recambrian sub alkaline mafic dykes from the central Indian craton: evidence for mantle metasomatism. *Journal of Asian Earth sciences*, 23, 373–389.
  - Stoltz, A.J., Jochum, K.P., Spettle, B. and Hofmann, A.W., 1996. Fluid-and melt-related enrichment in the subarc mantle: Evidence from Nb/Ta variations in island-arc basalts. *Geology*, 24(7), 587–590.
  - Straub, S.M., Gómez-Tuena, A., Zellmer, G.F., Espinasa-Perera, R., Stuart, F.M., Cai, Y., Langmuir, C.H., Martin del Pozzo, A.L. and Mesko, G.T., 2013. The processes of melt differentiation in arc volcanic rocks: insight from OIB-

- type arc magmas in the central Mexican Volcanic Belt. *Journal of Petrology*, 54, 665-701.
- Sun, S. and McDonough, W.F., 1989. Chemical and isotopic systematics of oceanic basalts: Implications for mantle composition and processes,in: Saunders, A.D., Norry M.J. (Eds.), *Magmatism in the Ocean Basins*. Geological Society London, 42, 313-345.
  - Saunders, A.D. and Norry, M.J., 1979. *Magmatism in oceanic basins*. Geology Society of London, 42, 313-345.
  - Von Blanckenburg, F. and Davies, J.H., 1995. Slab breakoff: a model for syncollisional magmatism and tectonics in the Alps. *Tectonics*, 14, 120-131.
  - Wass, S.Y. and Roger, N.W., 1980. Mantle metamorphism-Precursor to alkaline continental volcanism. *Geochimica et Cosmochimica Acta*, 44, 1811-1823.
  - Wilson, M., 1989. Igneous Petrogenesis: a Global Tectonic Approach. *Unwin Hymen*, London, 466.
  - Yang, Y., Heng, Zhang, H.F., Chu, Z.Y., Xie, L.W. and Wu, F.Y., 2010. Combined chemical separation of Lu, Hf, Rb, Sr, Sm and Nd from a single rock digest and precise and accurate isotope determinations of Lu-Hf, Rb-Sr and Sm-Nd isotope systems using multi-collector ICP-MS and TIMS. *International Journal of Mass Spectrometry*, 290, 120-126.
  - Zhao, J.H. and Zhou, M.F., 2007 . Geochemistry of Neoproterozoic mafic intrusions in the PanzhihuaNdistrict (Sichuan Province, SW China): Implications for subduction-related metasomatism in the upper mantle. *Journal of Precambrian Research*, 152, 27-47.
  - Zindler, A. and Hart, S., 1986. Chemical Geodynamics. *Annual Review of Earth and Planetary Sciences*, 14, 493-571.